

УДК 519.85+539.424+538.9

*Г. Ч. Тукембаева, аспирант, e-mail: tukembaeva.g@gmail.com**Б. К. Темиров, д.ф.-м.н., профессор**Кыргызский Национальный университет им. Ж. Баласагына*

## МОДЕЛИРОВАНИЕ УРАВНЕНИЙ ТЕРМОДИНАМИКИ ДИНАМИЧЕСКИМИ СИСТЕМАМИ

В статье предложен переход от уравнений термодинамики к динамическим системам. Уравнение Ван-дер-Ваальса качественно передает термодинамические процессы на полуэмпирическом уровне. Переход к динамическим системам вызван пространственно-временным изучением термодинамических величин  $p$ ,  $V$ ,  $T$  в связи с уравнениями математической физики для изучения сложных уравнений термодинамики и практической реализацией в технических системах. Доказано, что известные в литературе отрицательное давление и отрицательный объем являются частными случаями ориентированного элемента объема, определяемого символом Леви-Чивиты.

**Ключевые слова:** конденсированные среды, отрицательный объем, отрицательное давление, растянутая жидкость

### Введение

В области низких температур минимум изотермы Ван-дер-Ваальса оказывается в области отрицательных давлений [1]-[8], однако давление – скалярная величина, поэтому не может быть отрицательной по определению. Тем не менее уравнение Ван-дер-Ваальса качественно передает температурную зависимость второго вириального коэффициента  $B_2$  уравнения Камерлинг-Оннеса, когда  $B_2 < 0$  для растянутой жидкости, где  $p < 0$ . С ростом  $T$  увеличивается  $B_2$ , проходит через нуль и становится положительным, как и давление. Для отрицательного давления  $a$ ,  $b$  и  $B_2 = RT + pb$  меньше нуля. Считая  $B_2 = \text{const}$ , получим положительные коэффициенты уравнения Ван-дер-Ваальса. В таком случае уравнение может иметь отрицательные корни в некотором элементе объема, где  $p < 0$ .

С учетом изложенного в качестве модели принято уравнение Ван-дер-Ваальса. Его моделирование определит суть причины, породившей устоявшийся в литературе термин – отрицательное давление, обусловившее некорректное определение. Пока ясно, что давление названо отрицательным в силу того, что в области низких температур находится ниже оси  $V$ , где  $p < 0$ . В противовес отрицательному давлению используют понятие отрицательного объема (negative volume) [9]. Определение векторного элемента площади  $dA$  и элемента площади  $dA$  с произвольным знаком дано в [10]. Его обобщением является ориентированный элемент объема, ориентация которого определяется знаком смешанного произведения тройки векторов [11]. Поэтому необходимо выяснить суть отрицательности как давления [1]-[8], так и объема [9] во взаимосвязи с ориентированным элементом объема [11] при полном обосновании законами физики и математическим описанием объектов для построения математической модели. Актуальность исследования вызвана тем, что сверхсжатие порождает нейтроны (замечание В.Е. Фортова [5]) в пузырьковом термоядерном синтезе на частоте резонанса 20 кГц [12].

Целью данной работы является математическое моделирование процесса колебаний фазового перехода жидкость+пар, описываемого уравнением Ван-дер-Ваальса в метастабильном состоянии.

На рисунке 1 представлены изотермы Ван-дер-Ваальса.

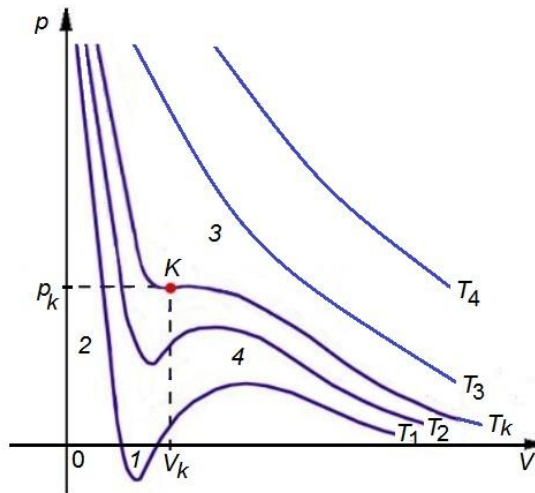


Рисунок 1– Изотермы Ван-дер-Ваальса.

Области: 1 – метастабильного состояния растянутой жидкости;  
2 – жидкости; 3 – газа; 4 – пара;  $T_1 < T_2 < T_k < T_3 < T_4$

Главным аспектом работы является нахождение констант  $a$  и  $b$  в метастабильном состоянии растянутой жидкости, так как растяжение – наислабейшее звено молекул и материалов. С ним связано изучение времени распада метастабильного состояния на жидкость и пар. Растянутая жидкость или жидкость при отрицательных давлениях всегда находится в метастабильном состоянии по отношению к пару, поскольку паровая фаза может существовать только при положительных давлениях. На практике растянутое состояние жидкости реализуется чаще всего при быстрых гидродинамических процессах, когда в жидкости возникают локальные растяжения. Их действие при кавитации вызывает вскипание, резкое расширение объема – "паровой взрыв" и разрушение сосудов крови, стенок двигателей, подводных аппаратов и др. [8].

Уравнение Ван-дер-Ваальса имеет вид

$$pV^3 - (RT + pb)V^2 + aV - ab = 0, \quad (1)$$

где  $p$  – давление,  $V$  – молярный объем,  $R$  – универсальная газовая постоянная,  $T$  – абсолютная температура,  $a$  и  $b$  – положительные константы для различных газов находят опытным путем. Силы межмолекулярного притяжения характеризует константа  $a$ , силы их отталкивания –  $b$ , действующие на расстоянии  $r \approx 10^{-9}$  м между центрами масс молекул обратно пропорционально  $n$  степени  $r$ . Силу притяжения считают положительной; для нее  $n = 7$ , а силу отталкивания отрицательной;  $n = 9, \dots, 15$ . На некотором расстоянии  $r = r_0$  от центра масс сила притяжения равна силе отталкивания. Если  $r > r_0$ , то преобладают силы притяжения, когда  $r < r_0$  – силы отталкивания. Согласно правилу Декарта: трем переменам знака в (1) отвечают три положительных корня.

Исследуем полином уравнения (1) в области растянутой жидкости на устойчивость по критерию Гурвица [13], считая коэффициенты полинома постоянными. Корни полинома отрицательные, если коэффициенты полинома положительные, что возможно, если  $p < 0$ , тогда

$$-pV^3 + pbV^2 + RTV^2 + aV - ab = 0.$$

Однако теперь  $a$  и  $b$  обязаны быть отрицательными, а потому

$$-pV^3 - pbV^2 + RTV^2 - aV - ab = 0.$$

Наконец, для согласования с  $B_2$  в области 1 растянутой жидкости (рис. 1) потребуем, чтобы  $|pb| > RT$ . Следовательно, с учетом перемены знаков имеем

$$pV^3 + (pb - RT)V^2 + aV + ab = 0.$$

Полученный полином изучим на устойчивость. Согласно критерию Гурвица,

$$\begin{vmatrix} pb - RT & ab \\ p & a \end{vmatrix} > 0, \quad ab > 0.$$

Раскрываем определитель 2-го порядка и получим следующие неравенства:

$$\begin{aligned} pb > RT, \quad a(pb - RT) - abp > 0, \quad ab > 0; \\ b > RTp^{-1}, \quad -aRT > 0, \quad ab > 0. \end{aligned}$$

Поскольку  $R$  и  $T$  строго положительные величины, то необходимо, чтобы  $a < 0$ ,  $b < 0$  и  $p < 0$ . Условие  $pb > RT$  тождественно тому, что второй вириальный коэффициент  $B_2 = RT + pb < 0$ , поэтому методы моделирования адекватны уравнениям термодинамики. Значит, критерий Гурвица подтверждает, что состояние растянутой жидкости расположено в области давлений  $p < 0$  и может быть устойчивым, как система управления. Такое возможно в малых объемах  $V$  при низких температурах  $T$ , меньших критической температуры, когда  $T < pb/R$ . Как долго можно удерживать метастабильное состояние, требует исследования, но поскольку система сложная, то автоматизации исследования и проектирования.

Геометрически смешанное произведение векторов – это ориентированный объем параллелепипеда. Его компоненты определяются символом Леви-Чивиты [11]

$$\varepsilon_{ijk} = \bar{e}_i \cdot (\bar{e}_j \times \bar{e}_k). \quad (2)$$

Они образуют правую тройку векторов  $abc$ , если знак смешанного произведения больше нуля, поэтому объем параллелепипеда положительный (рис. 2). Если знак смешанного произведения меньше нуля, то наблюдается левая тройка векторов ( $-abc$ ), а потому объем отрицательный (рис. 3). Определитель элемента объема  $V > 0$ ,  $V = 0$  (векторы компланарные) и  $V < 0$ . Такой элемент объема имеет практическое приложение в методе конечных объемов (метод Годунова расчета разрывов газодинамических течений) с интегральной формулировкой законов сохранения массы, импульса, энергии и др.

Положительный элемент объема – прямоугольный параллелепипед отвечает правой тройке векторов  $abc$ , построенной на положительных осях  $(x, y, z)$ . Оси расположены так, чтобы они графически соответствовали изотермам Ван-дер-Ваальса  $T_k < T_3 < T_4$  (рис. 1). Для правой тройки векторов  $V > 0$ :  $x, y, z > 0$  и  $a, b, c > 0$ , а вектор  $F$  совпадает с вектором  $c$  и параллелен оси  $z$ , на которой отложены значения давления  $p$ . При падении  $p$  высота параллелепипеда уменьшается и равна нулю, когда  $p = 0$ .

Отрицательный элемент объема определяется левой тройкой векторов ( $-abc$ ), когда вектор  $c$  меняет знак с плюса на минус. Это происходит при переходе в метастабильное состояние растянутой жидкости (рис. 3). Прямоугольный параллелепипед обозначен цифрой 1. Для левой тройки векторов в прежней системе координат  $(x, y, z)$  объем  $V < 0$ , так как  $a > 0$ ,  $b > 0$ , но  $c < 0$ . Поэтому отрицательный прямоугольный параллелепипед расположен под плоскостью  $xy$  в области отрицательных значений координаты  $z$ .

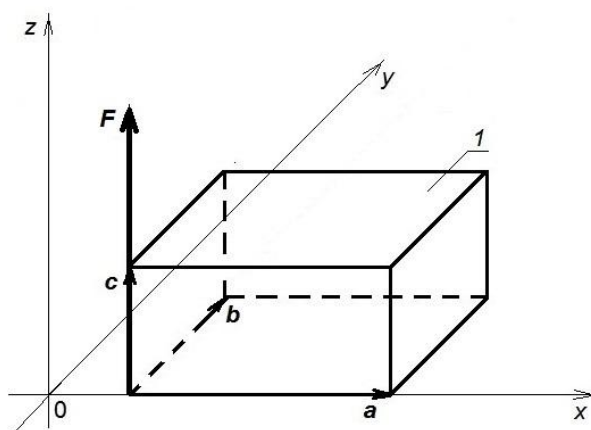


Рисунок 2 – Положительный элемент объема.

$I$  – прямоугольный параллелепипед

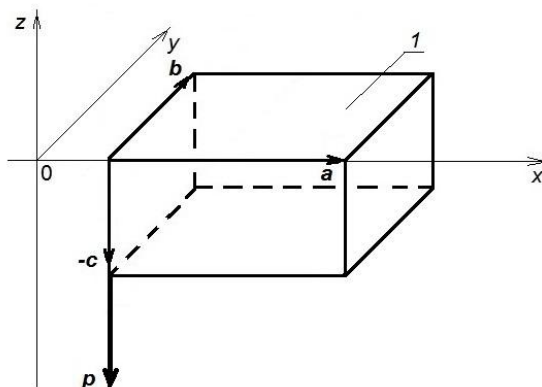


Рисунок 3 – Отрицательный элемент объема.

$I$  – прямоугольный параллелепипед

Временные характеристики находят опытным путем, поэтому, задавая значения  $a$  и  $b$  в уравнениях Ван-дер-Ваальса, можно оценить временные характеристики колебаний. Поскольку  $a$  и  $b$  получены в опытах для каждого конкретного вещества, то они отвечают термодинамическим параметрам этого вещества. В таком случае термодинамические параметры содержат пространственно-временные координаты  $(x, y, z, t)$  вещества в скрытой (неявной) форме, которые предстоит определить по уравнению Ван-дер-Ваальса.

Приведем уравнение (1) к виду

$$p = \frac{RTV^2 - aV + ab}{V^2(V-b)}. \quad (3)$$

Чтобы перейти к пространственно-временным координатам  $(x, y, z, t)$ , выразим давление через силу  $F$  и площадь  $S$  в прямоугольной системе координат  $(x, y, z)$ , см. рисунки 1 и 2. Давление численно равно силе, действующей на площадь поверхности, перпендикулярно этой поверхности, поэтому в данной точке  $p = dF/dS$ , где  $F$  – нормальная составляющая силы. С учетом знака силы формулу (3) представим следующим образом

$$\frac{\partial F}{\partial S} = - \frac{RTV^2 - aV + ab}{V^2(V-b)}$$

и проинтегрируем

$$F = - \int \frac{RTV^2 - aV + ab}{V^2(V-b)} dS. \quad (4)$$

Сила  $F = m(du/dt)$ , где  $m$  – масса,  $u(x, y, z, t)$  – скорость. Значит, давление  $p$  содержит в неявной форме пространственно-временные координаты  $(x, y, z, t)$ . Масса  $m$  – заданная константа или, по крайней мере, определяется законом сохранения массы, поэтому перепишем интеграл (4) в интегро-дифференциальной форме:

$$\frac{\partial u}{\partial t} + \frac{1}{m} \int \frac{RTV^2 - aV + ab}{V^2(V-b)} dS + C_1 = 0. \quad (5)$$

Действие силы  $F$  по оси  $z$  выражается смещением точки относительно  $z$ , поэтому выражение (5) описывает в том числе колебания:

$$\frac{\partial}{\partial t} \left( \frac{\partial z}{\partial t} \right) + \frac{1}{m} \int \frac{RTV^2 - aV + ab}{V^2(V-b)} dS + C_1 = 0. \quad (6)$$

Подынтегральная функция с учетом силы  $F$  по оси  $z$ , действующей на объем  $V = zS$ , а потому (6) описывается интегро-дифференциальным уравнением (ИДУ) с частными производными

$$m \frac{\partial^2 z}{\partial t^2} + \int \frac{RTz^2S^2 - azS + ab}{z^2S^2(zS - b)} dS + C_2 = 0. \quad (7)$$

Проинтегрировав дробь в (7) по  $dS$ , получим нелинейное ИДУ 2-го порядка, описывающее сложные, ветвящиеся процессы. Они раскачивают объем  $V$  по оси  $z$  так, что  $z$  принимает положительные (рис. 2) и отрицательные значения (рис. 3), разрывая  $V(x, y, z)$ . Поскольку в одномерных системах фазовый переход I рода невозможен [1], то выходом из создавшейся ситуации будет образование двумерного тела  $V(x, y)$ , так как переменные  $x$  и  $y$  неизменны. Интеграл в (7) можно рассмотреть в цилиндрических координатах, где основание будет окружностью радиуса  $r$ . Тогда интегрируем в пределах от 0 до  $\pi r^2$ , поэтому можно исключить константу интегрирования. Здесь не исключено выдавливание центра круга в тор при вытягивании жидкости из центра в области I метастабильного состояния растянутой жидкости. Большие градиенты на углах прямоугольника вызовут разрывы, поэтому актуально время жизни тора в метастабильном состоянии, для чего выведено уравнение (7). Для  $a < 0$  и  $b < 0$  получим в область I метастабильного состояния растянутой жидкости (рис. 1), поэтому уравнение (7) примет вид

$$m \frac{\partial^2 z}{\partial t^2} + \int \frac{RTz^2 + azS + ab}{z^2S^2(zS + b)} dS + C_3 = 0. \quad (8)$$

Чтобы взять интеграл в уравнении (7), разложим подынтегральную функцию на простые дроби:

$$m \frac{\partial^2 z}{\partial t^2} + \int \frac{RT}{(zS - b)} dS - \int \frac{a}{zS(zS - b)} dS + \int \frac{ab}{z^2S^2(zS - b)} dS + C_2 = 0,$$

$$m \frac{\partial^2 z}{\partial t^2} + \frac{RT}{z} \int \frac{1}{(S - b_1)} dS - \frac{a}{z^2} \int \frac{1}{S(S - b_1)} dS + \frac{ab}{z^3} \int \frac{1}{S^2(S - b_1)} dS + C_2 = 0,$$

где  $a_1 = a/z$ ,  $b_1 = b/z$ , тогда

$$m \frac{\partial^2 z}{\partial t^2} + \frac{RT}{z} \ln|S - b_1| - \frac{a}{z^2} \int \frac{1}{S(S - b_1)} dS + \frac{ab}{z^3} \int \frac{1}{S^2(S - b_1)} dS + C_2 = 0. \quad (9)$$

Значит, приведение к ОДУ дает сложные, нелинейные уравнения с членами в виде рядов. Например, ограничиваясь двумя членами в (9), имеем нелинейное уравнение

$$m \frac{\partial^2 z}{\partial t^2} + \frac{RT}{z} \ln \left| S - \frac{b}{z} \right| + C_4 = 0.$$

Уравнение (8) преобразуется в не менее сложное ИДУ

$$m \frac{\partial^2 z}{\partial t^2} + \frac{RT}{z} \ln|S + b_1| + \frac{a}{z^2} \int \frac{1}{S(S + b_1)} dS + \frac{ab}{z^3} \int \frac{1}{S^2(S + b_1)} dS + C_3 = 0.$$

Итак, полученное ИДУ (7) представляет отдельную проблему, поэтому найдем критические точки уравнения (4). Для этого преобразуем уравнение (3) к виду

$$\frac{\partial F}{\partial S} = - \frac{RTz^2S^2 - azS + ab}{z^2S^2(zS - b)}$$

и найдем вторую производную, приравняв ее нулю:

$$\frac{\partial}{\partial z} \left( \frac{\partial F}{\partial S} \right) = \left( - \frac{RTz^2S^2 - azS + ab}{z^2S^2(zS - b)} \right)'_z = 0,$$

$$\frac{\partial}{\partial z} \left( \frac{\partial F}{\partial S} \right) = \frac{M}{[z^2 S^2 (zS - b)]^2} = 0,$$

$$M = -RTS^5 z \{ z^3 - 2[RTbSz + (RTb - a)]S^3 z^2 + 4abS^2 z - 2b(abS + 1) \}.$$

Тем самым найдем критические точки  $z$ , в том числе такие, которые отвечают минимуму области 1 растянутой жидкости, где начинается ее распад на жидкость+пар. Однако в этом случае константы  $a < 0$  и  $b < 0$  в  $M$  соответственно уравнению (8).

Изотермы Ван-дер-Ваальса содержат точки экстремума, перегиба, возврата, узловые и т.д., поэтому необходимо исследовать вторую производную

$$\frac{\partial^2}{\partial z^2} \left( \frac{\partial F}{\partial S} \right) = \left( - \frac{RTz^2 S^2 - azS + ab}{z^2 S^2 (zS - b)} \right)''_{zz}$$

в тех значениях  $z$ , где она равна нулю, бесконечна или не существует. Например, точке возврата отвечают кратные корни характеристического уравнения, так как  $z$  и  $p$  равны нулю; узловой точке – петля в области метастабильного состояния, где  $z$  и  $p$  меньше нуля. Это означает, что узловая точка представляет отрицательный элемент объема в области растянутой жидкости, где динамика описывается уравнением (8), т.е. тогда, когда константы  $a < 0$ ,  $b < 0$  и давление  $p < 0$ , что требует отдельного исследования.

Практическое значение отрицательного элемента объема заключается в его наблюдении над поверхностью раздела двух сред в виде зеркального отображения неоднородностей. Положительные оси ( $x$ ,  $y$ ,  $z$ ) являются границей раздела двух фаз на поверхности океана, границе тропосферы, стратосферы, ионосферы и т.д. Например, отрицательный элемент объема на глубине  $h = -z$  океана имеет собственные коэффициенты преломления и отражения, отвечающие метастабильному состоянию. На высоте  $h = +z$  данный отрицательный элемент объема наблюдается в виде зеркального отображения, как объект, подлежащий идентификации.

Таким образом, уравнения термодинамики, в частности Ван-дер-Ваальса, представимы динамическими системами. Значит, могут изучаться как в рамках систем с сосредоточенными параметрами относительно физических переменных ( $V$ ,  $p$ ), так и систем с распределенными параметрами с независимыми переменными ( $t$ ,  $x$ ,  $y$ ,  $z$ ). В метастабильном состоянии сосредоточенность параметров выражается полиномом с положительными коэффициентами и устойчивостью по Гурвицу. Случай системы с распределенными параметрами требует отдельного исследования, так как положительность коэффициентов полинома определяется фазовым переходом 1-го рода в метастабильное состояние, где, согласно Р.И. Нигматулину, Р.Т. Лэхи и др., возникает источник нейтронов в пузырьковом термоядерном синтезе.

### Литература

1. Ландау Л.Д., Лифшиц Е.М. Статистическая физика. – Ч. 1. – М.: Наука, 1976. – 584 с.
2. Белонучкин В.Е. Краткий курс термодинамики. – 2-е изд. – М.: МФТИ, 2010. – 164 с.
3. Маслов В.П. Устранение устоявшихся математических ошибок в термодинамике и квантовой статистике. Новая термодинамика // Наноструктуры. Математическая физика и моделирование. – 2014. – Т. 11, № 2. – С. 30– 62.
4. Маслов В.П. Об учете парастатических поправок к распределению Бозе-Эйнштейна в квантовом и классическом случаях // Теоретическая и математическая физика. – 2012. Т. 172, № 3. – С. 468 – 478.
5. Руденко О.В. Нелинейные волны: некоторые биомедицинские приложения // Вестник РАН. – 2008. – Т. 78, № 1. – С.3– 19.
6. Сапожников О.А., Анненкова Е.А. Нелинейные сферические стоячие волны в акустически возбужденной жидкой капле // Акустический журнал. – 2019. – Т. 64, № 3. – С. 308– 317.

7. Юлдашев П.В., Карзова М.М., Хохлова В.А., Блан-Бенон Ф. Численное моделирование нелинейного параболического уравнения для анализа статистики воспринимаемого уровня шума волны звукового удара после прохождения турбулентного слоя атмосферы // *Акустический журнал*. – 2021. – Т. 67, № 1. – С. 31–44.
8. Виноградов В.Е. Исследование вскипания перегретых и растянутых жидкостей: спец. 01.04.14 "Теплофизика и теоретическая теплотехника": автореф. дис. ... докт. физ.-мат. наук. – Екатеринбург, 2006. – 43 с.
9. Caupin F. and Anisimov M.A. Thermodynamics of supercooled and stretched water: Unifying two-structure description and liquid-vapor spinodal // *J. Chem. Phys.* 151, 034503 (2019); <https://doi.org/10.1063/1.5100228>
10. Корн Г., Корн Т. Справочник по математике для научных работников и инженеров. – М.: Наука, 1984. – 832 с.
11. Димитриенко Ю.И. Тензорное исчисление / Ю.И. Димитриенко. – М.: Высш. шк., 2001. – 575 с.
12. О термоядерных процессах в кавитирующих пузырьках / Нигматулин Р. И., Лэхи Р. Т. (мл.), Талейархан Р. П., Вест К. Д., Блок Р. С. // *Успехи физических наук*. – 2014. – Т. 184, № 9. – С. 947–960.
13. Бесекерский В.А., Попов Е.П. Теория систем автоматического управления. – М.: Наука, 1972. – 768 с.